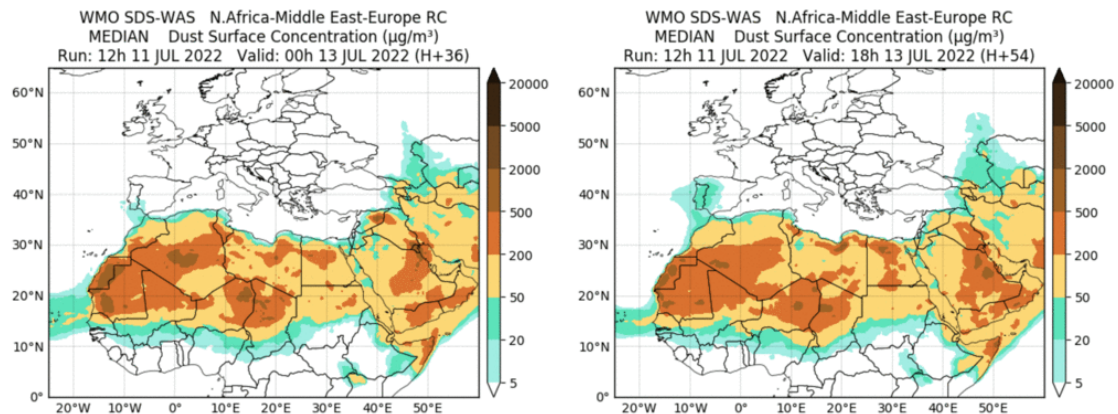


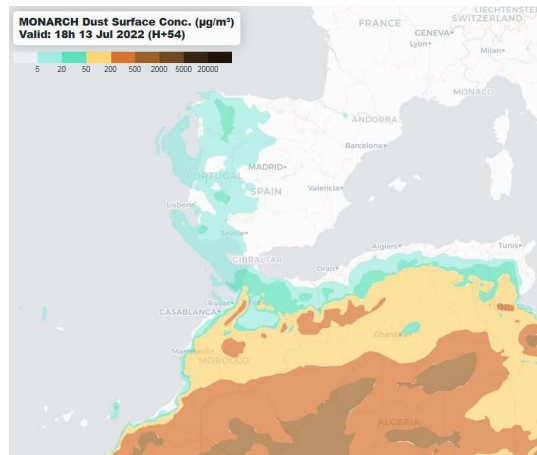
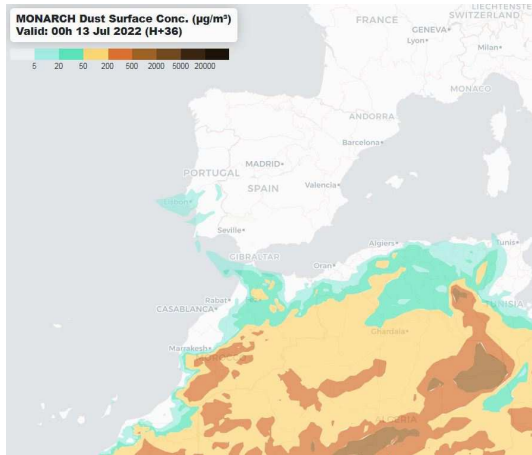
Predicción de intrusión de masas de aire africano sobre España, para el día 13 de julio de 2022

Se prevé que a lo largo del día 13 de julio y por efecto de la generación de un profundo centro de bajas presiones sobre el océano atlántico, al SO de la península ibérica, se produzca el transporte de masas de aire africanas sobre zonas del tercio occidental peninsular. En consecuencia es previsible que en zonas del SO peninsular se puedan registrar niveles de concentración de polvo en el rango 5-40 $\mu\text{g}/\text{m}^3$ por la mañana y en el rango 5-50 $\mu\text{g}/\text{m}^3$ por la tarde. Durante la segunda mitad del día se podrán registrar valores de concentración de polvo en el rango 5-100 $\mu\text{g}/\text{m}^3$ en zonas del NO peninsular. Por la tarde también se prevé el desarrollo de depósito seco de polvo en zonas del SO y NO de la península ibérica.

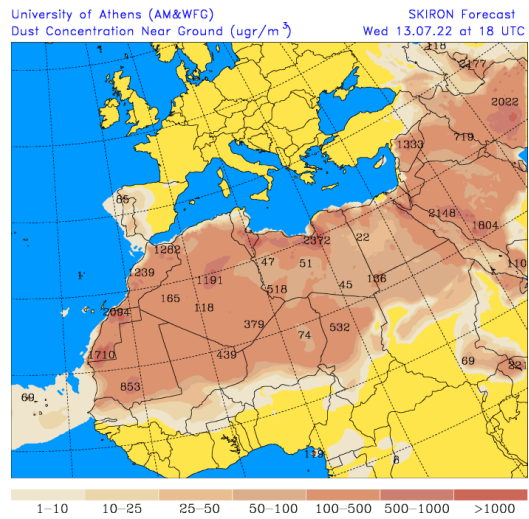
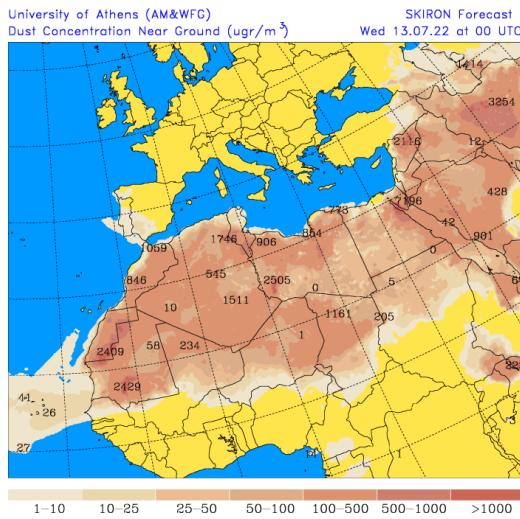
13 de julio de 2022



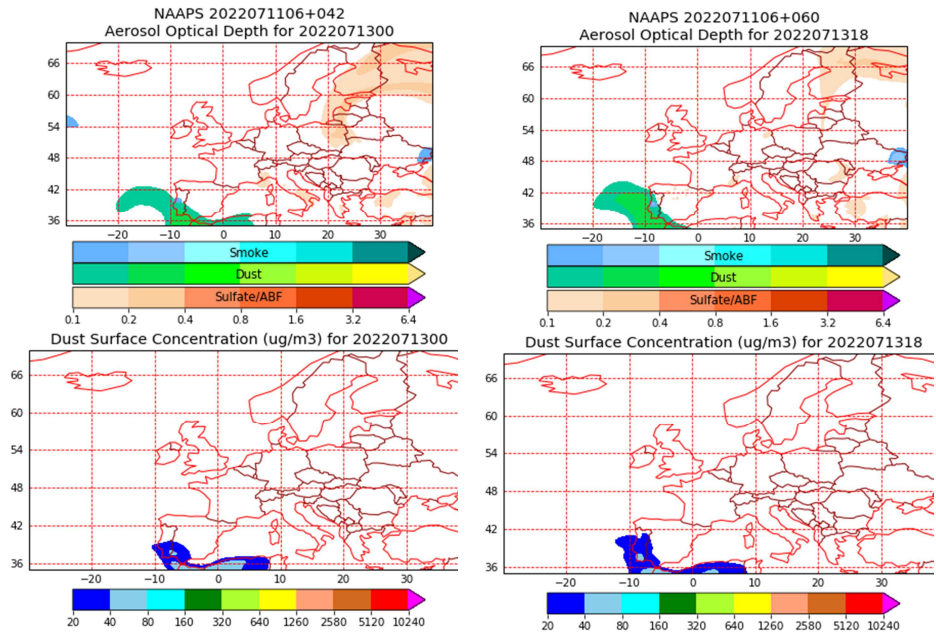
Resultados de la comparación de múltiples modelos de predicción de concentración de polvo (mediana en $\mu\text{g}/\text{m}^3$) para el día 13 de julio de 2022 a las 00h UTC (izquierda) y a las 18h UTC (derecha). Sand and Dust Storm Warning Advisory and Assessment System Regional Center for Northern Africa, Middle East and Europe (SDS-WAS NAMEE RC; <http://sds-was.aemet.es>), gestionado conjuntamente por la Agencia Estatal de Meteorología (AEMET; <http://www.aemet.es/>) y Barcelona Supercomputing Center (BSC, <https://www.bsc.es/>).



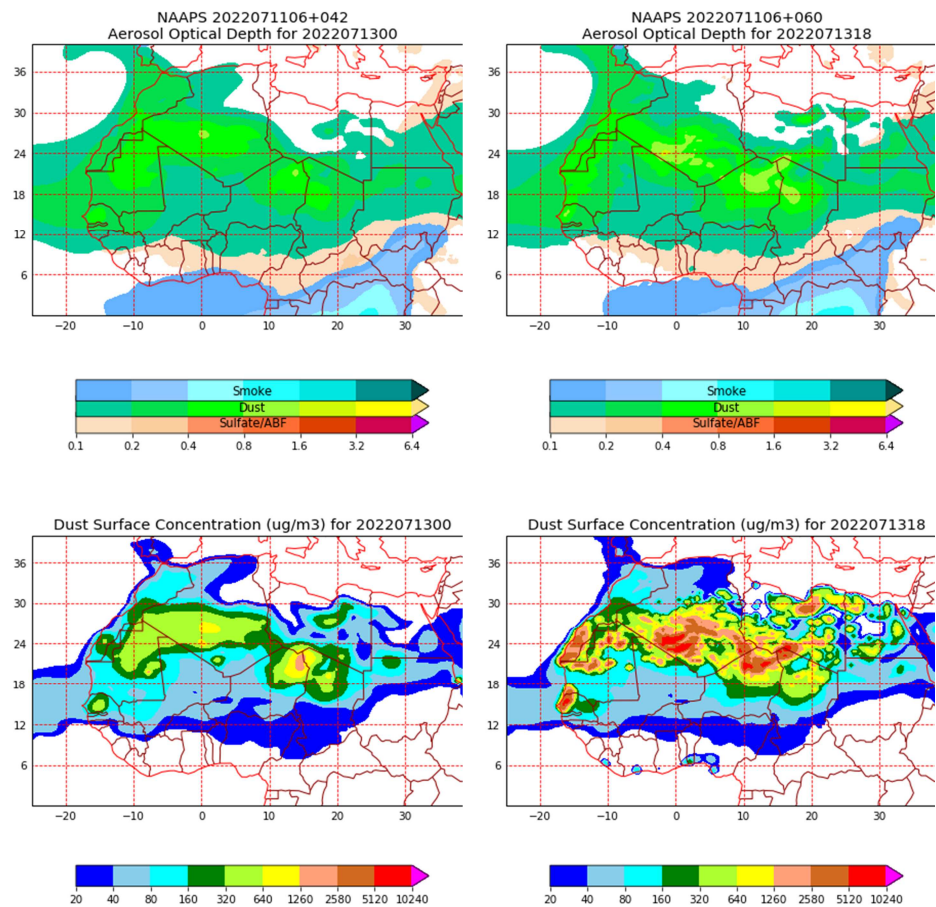
Concentración de polvo ($\mu\text{g}/\text{m}^3$) predicha por el modelo MONARCH para el día 13 de julio de 2022 a las 00 (izquierda) y a las 18 UTC (derecha). © Barcelona Supercomputing Center.



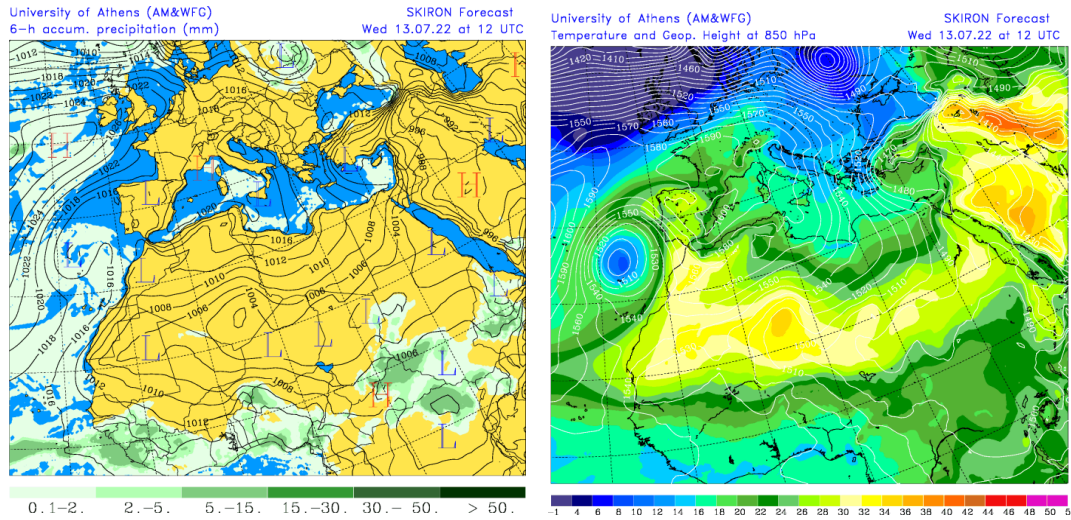
Concentración de polvo ($\mu\text{g}/\text{m}^3$) predicha por el modelo Skiron para el día 13 de julio de 2022 a las 00 (izquierda) y a las 18 UTC (derecha). © Universidad de Atenas.



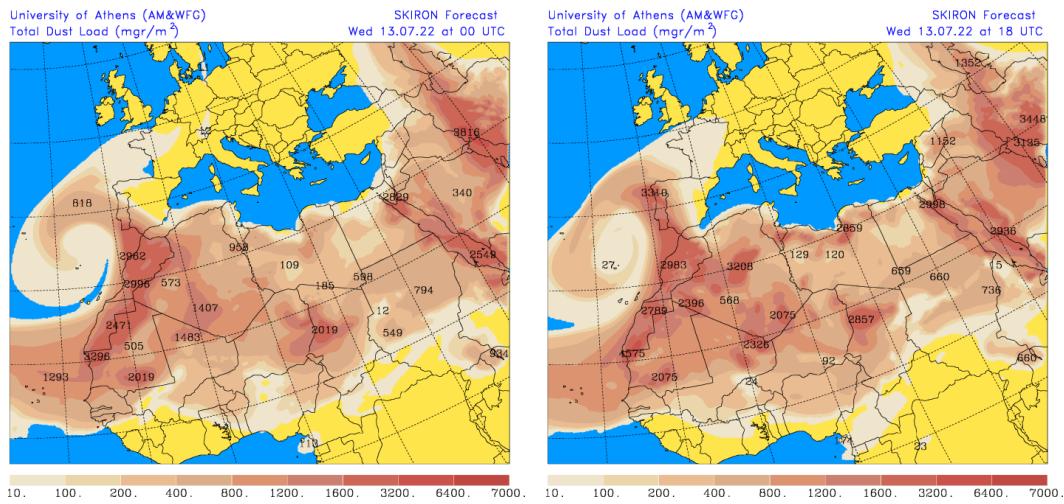
Espesor óptico de aerosoles a 550 nm (arriba) y concentración de polvo a nivel de superficie (abajo) previstos por el modelo NAAPS para el día 13 de julio de 2022 a las 00 UTC (izquierda) y a las 18 UTC (derecha) en Europa. ©Naval Research Laboratory (NRL), Monterey, CA.



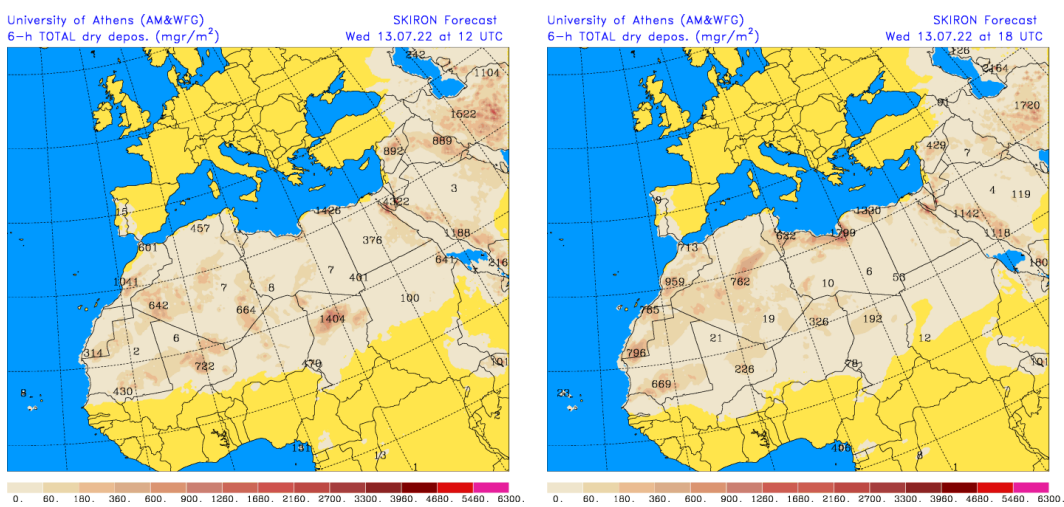
Espesor óptico de aerosoles a 550 nm (arriba) y concentración de polvo a nivel de superficie (abajo) previstos por el modelo NAAPS para el día 13 de julio de 2022 a las 00 UTC (izquierda) y a las 18 UTC (derecha) en el norte de África. ©Naval Research Laboratory (NRL), Monterey, CA.



Campo de presión a nivel del mar (mb) y de precipitación (mm) (izquierda) y de temperaturas (°C) y de altura de geopotencial (m) a 850 hPa (derecha) previsto por el modelo Skiron para el día 13 de julio de 2022 a las 12 UTC. © Universidad de Atenas.



Carga total de polvo (mgr/m²) predicha por el modelo Skiron para el día 13 de julio de 2022 a las 00 (izquierda) y a las 18 UTC (derecha). © Universidad de Atenas.



Depósito seco de polvo (mg/m²) predicho por el modelo SKIRON para el día 13 de julio de 2022 a las 12 UTC (izquierda) y a las 18 UTC (derecha). © Universidad de Atenas.

Fecha de elaboración de la predicción: 12 de julio de 2022

Predicción elaborada por Pedro Salvador (CIEMAT)

Los datos son propiedad de la Dirección General de Calidad y Evaluación Ambiental, del Ministerio para la Transición Ecológica y el Reto Demográfico, y han sido obtenidos y se suministran en el marco del “Encargo del Ministerio para la Transición Ecológica a la Agencia Estatal Consejo Superior de Investigaciones Científicas para la detección de episodios naturales de aportes transfronterizos de partículas y otras fuentes de contaminación de material particulado, y de formación de ozono troposférico”.